

(122)

## E S R 溶鋼プール内の混合状態

新日本製鐵(株)基礎研究所

中村 泰 石川英毅

徳光直樹 ○原島和海

**1 緒 言** E S R における溶鋼プールの混合状況を知ることは、E S R における精鍊効果の解明や初期装入スラグ中の不純物元素が移行して起こす鋼塊中の偏析を知る上で重要である。そこで、電極中の Ni, Co 濃度に階段的な変化を与え、E S R 後の鋼塊中の濃度分布を求め、これより溶鋼プールの混合状況を知ることを試みた。

**2 実 験** 実験条件を表 1 に示す。電極の長さ方向数ヶ所に FeS, W 粒を埋めこみ、各鋸型において鋸塊溶製中のプール形状、プール量、電極溶解速度の経時変化を調べた。頭部プール量、プール形状は溶解終了直前に FeS, W 粒をプール内に投入し、サルファプリント、マクロエッチによって決定した。濃度分布曲線を得るために、EPMA による分析上の必要性と、濃度変化による溶解条件の変化を少なくする目的で、トレーサとして Ni, Co を選び、0.5% Ni と 0.5% Co 鋼を継ぎ合せて電極とした。濃度分布曲線は各鋸塊の中心軸: C 軸と、C 軸に平行な鋸肌より約 1.5 mm 内側 S 軸に添って 3 ~ 5 mm 間隔で EPMA によって得た。<sup>1)</sup>

**3 結 果** (1) 溶解開始後一定時間経過すると、プール量、プール形状、電極溶解速度は一定になることが確認できた。以後この状態を定常状態と呼び、この範囲で濃度変化がおきるように電極長さを設定した。(2) 鋸塊中の濃度分布曲線を図 1 に示す。a 点はステップ入力を与えた時の湯面であり、プール形状は頭部において決定したものである。図 1 は Ni, Co の濃度変化位置 b, c, とプール底面の位置 b, c とが一致し、Ni, Co の入力に対して濃度分布曲線の遅れがないことを示す。(3) E S R が定常状態になった時、鋸塊中のトレーサの濃度を Cn[%]、電極中のトレーサ濃度を Ce[%] 一定、プール量を V [g]、電極溶解速度を v [g/min]、経過時間を t [min]、t = 0 の時の (Cn - Ce) を Co [%] 一定とし、プール内が完全混合であれば次式が成立する。

$$\Delta C = (C_n - C_e) = C_o \exp(-Kt), \quad K = v/V$$

(4) 図 2 に観測した  $\log \Delta C$  と t との関係を示す。 $\log \Delta C$  と t は非常によい直線関係になる。上式にしたがって、図 2 の勾配から  $K_{\text{calc.}}$  が求められる。一方 v, V の実測値から  $K_{\text{theo.}} = v/V$  を求めることができる。両者の比 ( $K_{\text{calc.}}/K_{\text{theo.}}$ ) は表 1 に示した。この表から、図 2 によって求めた  $K_{\text{calc.}}$  の値が理論から期待される  $K_{\text{theo.}}$  と誤差範囲内で一致することがわかる。以上の結果から、マクロ的にみた濃度分布曲線は完全混合のモデルで説明できることがわかる。

以上、マクロ的にみた E S R の溶鋼プールは、ほぼ完全混合とみられる。

1) 坂田、船木 新日鐵基礎研  
未発表

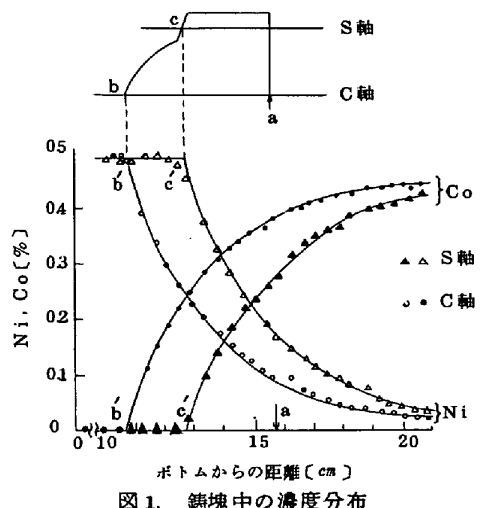
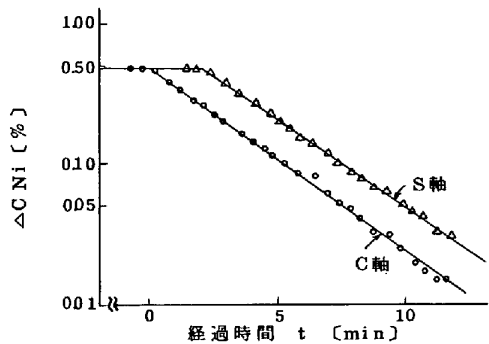


図 1. 鋸塊中の濃度分布

図 2.  $\Delta C$  (%) と t (min) の関係表 1 溶解条件と ( $K_{\text{calc.}}/K_{\text{theo.}}$ )。

溶解条件		$(K_{\text{calc.}}/K_{\text{theo.}})Ni$	$(K_{\text{calc.}}/K_{\text{theo.}})Co$
100mmφ鋸型 30(V) 60mmφ電極 2000(A)	S 軸	1.01	0.99
	C 軸	1.04	1.09
70mmφ鋸型 30(V) 40mmφ電極 1000(A)	S 軸	0.95	0.97
	C 軸	0.99	1.01